調４１８－（３）－３

第418回地震調査委員会資料

〈目　　次〉

- 広帯域地震計を用いたモーメントテンソル解析結果（2025年8月01日-8月31日）・・・・・・・・2
- 紀伊半島・東海地域の深部低周波微動活動状況（2025年8月）・・・・・・・・・・・・・・・・・・・・・・・・・・・　15
- 四国の深部低周波微動活動状況（2025年8月）・・・・・・・・・・・・・・・・・・・・・・・・・・・・・・・・・・・・　16
- 令和7年7月30日カムチャツカ半島付近の地震による津波観測記録・・・・・・・・・・・・・・・・・・・・・・・　17
- 令和7年7月30日カムチャツカ半島付近の地震の津波エンベロープ波形・・・・・・・・・・・・・・・・・・・・　18

令和７年９月９日

国立研究開発法人
防災科学技術研究所
National Research Institute for Earth Science and Disaster Resilience

MOWLAS
Monitoring of Waves on Land and Seafloor

防災科研
NIED

広帯域地震計を用いたモーメントテンソル解析結果
(2025 年 08 月 01 日–08 月 31 日)

国立研究開発法人 防災科学技術研究所

期間中のイベント数:109

・千島列島

62) 千島列島 (08/16 00:50 Mw5.4 H_59km VR72.17/3) 南北方向に圧縮軸を持つ型
76) 遠地 (08/19 21:25 Mw4.8 H_74km VR77.14/3) 北北西ー南南東方向に圧縮軸を持つ型
91) 千島列島 (08/24 22:12 Mw4.0 H_5km VR64.31/3) 西北西ー東南東方向に圧縮軸を持つ型

・北海道地方

3) 根室半島南東沖 (08/02 06:18 Mw4.5 H_74km VR87.16/3) 南北伸張の正断層
4) 根室半島南東沖 (08/02 07:27 Mw5.4 H_26km VR77.91/3) 北西ー南東圧縮の逆断層
9) 釧路支庁中南部 (08/04 23:40 Mw4.1 H_62km VR90.97/3) 北西ー南東圧縮の逆断層
44) 釧路沖 (08/12 18:11 Mw5.4 H_35km VR80.50/3) 北西ー南東圧縮の逆断層
45) 釧路沖 (08/12 22:08 Mw4.1 H_35km VR80.21/3) 北西ー南東圧縮の逆断層
46) 釧路沖 (08/12 22:09 Mw4.0 H_20km VR76.89/3) 北西ー南東伸張の正断層
47) 釧路沖 (08/12 23:31 Mw4.1 H_17km VR76.36/3) 北西ー南東圧縮の逆断層
49) 根室半島南東沖 (08/13 07:50 Mw4.3 H_47km VR89.20/3) 北西ー南東方向に圧縮軸を持つ型
57) 日高支庁西部 (08/14 16:31 Mw4.0 H116km VR76.98/3) 北北西ー南南東方向に伸長軸を持つ型
61) 浦河沖 (08/15 15:04 Mw4.0 H_56km VR76.15/3) 西北西ー東南東圧縮の逆断層
73) 渡島支庁東部 (08/19 07:19 Mw5.2 H135km VR90.82/3) 西北西ー東南東方向に圧縮軸を持つ型
78) 北海道東方沖 (08/21 06:24 Mw4.7 H_50km VR88.47/3) 北北西ー南南東方向に圧縮軸を持つ型
85) 根室半島南東沖 (08/23 18:36 Mw4.2 H_20km VR86.84/3) 北東ー南西方向に伸長軸を持つ型
88) オホーツク海南部 (08/24 04:35 Mw4.3 H420km VR63.87/3) 北西ー南東伸張の正断層
103) 根室半島南東沖 (08/28 18:50 Mw4.5 H_29km VR79.96/3) 北北東ー南南西伸張の横ずれ断層
105) オホーツク海南部 (08/29 15:39 Mw4.5 H400km VR87.73/3) 東西圧縮の逆断層

・東北地方

56) 青森県三八上北地方 (08/14 12:48 Mw4.1 H_62km VR65.34/2) 西北西ー東南東方向に圧縮軸を持つ型
74) 三陸沖 (08/19 07:58 Mw4.3 H_11km VR81.97/3) 東西圧縮の逆断層
81) 宮城県沖 (08/22 07:34 Mw5.7 H_44km VR94.80/3) 西北西ー東南東圧縮の逆断層
82) 宮城県沖 (08/22 08:06 Mw4.4 H_44km VR87.37/3) 北西ー南東圧縮の逆断層
94) 日本海中部 (08/27 07:20 Mw4.1 H340km VR69.51/3) 東北東ー西南西圧縮の逆断層
106) 宮城県沖 (08/30 01:29 Mw5.6 H_41km VR94.58/3) 西北西ー東南東圧縮の逆断層
107) 福島県沖 (08/30 01:50 Mw4.9 H_41km VR91.24/3) 西北西ー東南東圧縮の逆断層
108) 岩手県沖 (08/30 18:26 Mw4.7 H_53km VR95.40/3) 西北西ー東南東圧縮の逆断層

・関東・中部地方

1) 伊勢湾 (08/01 08:24 Mw4.7 H320km VR84.20/3) 東西圧縮の逆断層
32) 茨城県沖 (08/08 19:29 Mw4.5 H_17km VR81.61/3) 北西ー南東方向に圧縮軸を持つ型
53) 茨城県沖 (08/14 04:13 Mw5.0 H_47km VR90.96/3) 北西ー南東方向に圧縮軸を持つ型
69) 遠州灘 (08/18 08:33 Mw4.5 H_8km VR76.68/3) 南北圧縮の逆断層
79) 新島・神津島近海 (08/21 10:44 Mw4.7 H_5km VR88.70/3) 東北東ー西南西方向に伸長軸を持つ型
86) 埼玉県北部 (08/23 19:22 Mw4.5 H150km VR51.20/2) 東北東ー西南西圧縮の横ずれ断層

92) 福井県嶺北地方　(08/25 01:44 Mw4.1 H_8km VR96.34/3) 東北東一西南西圧縮の横ずれ断層
93) 東京都多摩西部　(08/26 16:19 Mw4.0 H145km VR59.91/3) 東北東一西南西方向に伸長軸を持つ型
101) 八丈島東方沖　(08/28 18:28 Mw4.4 H_5km VR64.09/3) 東北東一西南西圧縮の逆断層
102) 八丈島東方沖　(08/28 18:45 Mw4.0 H_5km VR77.50/3) 東北東一西南西圧縮の逆断層
104) 茨城県沖　(08/29 04:54 Mw4.3 H_89km VR89.26/3) 北北西一南南東伸張の正断層

・小笠原地方

16) 鳥島東方沖　(08/05 08:53 Mw4.3 H_5km VR70.82/3) 東北東一西南西圧縮の逆断層
54) 父島近海　(08/14 06:26 Mw4.0 H_38km VR67.68/3) 東北東一西南西圧縮の逆断層
99) 父島近海　(08/28 10:18 Mw4.2 H101km VR61.85/3) 東北東一西南西方向に伸長軸を持つ型

・近畿地方

63) 兵庫県北方沖　(08/16 05:03 Mw4.3 H380km VR94.31/3) 東北東一西南西方向に圧縮軸を持つ型

・九州地方

21) 豊後水道　(08/06 02:53 Mw4.4 H_56km VR90.76/3) 東西方向に伸長軸を持つ型
28) 大分県西部　(08/07 08:47 Mw4.6 H_5km VR83.39/3) 南北方向に伸長軸を持つ型
33) 奄美大島近海　(08/09 00:18 Mw4.5 H_5km VR88.21/3) 北西一南東方向に伸長軸を持つ型
52) 日向灘　(08/13 18:52 Mw4.2 H_32km VR84.75/3) 北西一南東圧縮の逆断層
59) 奄美大島近海　(08/15 03:25 Mw4.4 H_5km VR82.98/3) 南北伸張の横ずれ断層
66) 日向灘　(08/17 06:13 Mw5.6 H_29km VR83.42/3) 東西方向に伸長軸を持つ型
68) 奄美大島近海　(08/17 23:27 Mw4.1 H_23km VR84.67/3) 北西一南東圧縮の逆断層
97) 日向灘　(08/27 21:50 Mw4.2 H_26km VR79.99/3) 東西伸張の正断層

・沖縄地方

5) 台湾付近　(08/02 08:48 Mw4.6 H_5km VR75.63/2) 北西一南東方向に圧縮軸を持つ型
7) 石垣島近海　(08/03 11:15 Mw4.2 H_5km VR87.78/2) 南北伸張の正断層
8) 沖縄本島近海　(08/03 14:23 Mw4.5 H_5km VR61.41/3) 北西一南東伸張の横ずれ断層
11) 東シナ海　(08/05 03:58 Mw4.0 H_5km VR88.26/3) 北西一南東方向に伸長軸を持つ型
12) 東シナ海　(08/05 06:30 Mw4.1 H_5km VR74.01/3) 南北伸張の横ずれ断層
13) 東シナ海　(08/05 07:44 Mw4.4 H_5km VR90.62/3) 北北西一南南東方向に伸長軸を持つ型
15) 東シナ海　(08/05 08:39 Mw4.6 H_5km VR90.69/3) 南北方向に伸長軸を持つ型
17) 東シナ海　(08/05 10:00 Mw4.0 H_5km VR81.97/3) 北西一南東方向に伸長軸を持つ型
18) 東シナ海　(08/05 12:29 Mw4.1 H_5km VR81.77/3) 北北西一南南東方向に伸長軸を持つ型
25) 東シナ海　(08/06 07:51 Mw4.1 H_5km VR87.15/3) 北北西一南南東方向に伸長軸を持つ型
26) 東シナ海　(08/06 09:56 Mw5.1 H_5km VR90.03/3) 北北西一南南東方向に伸長軸を持つ型
27) 東シナ海　(08/06 10:08 Mw4.0 H_5km VR64.79/3) 北北西一南南東伸張の横ずれ断層
30) 与那国島近海　(08/07 16:45 Mw5.4 H_98km VR89.54/2) 南北方向に伸長軸を持つ型
37) 東シナ海　(08/09 15:41 Mw4.0 H_5km VR83.83/3) 北北西一南南東方向に伸長軸を持つ型
39) 台湾付近　(08/10 15:03 Mw4.7 H_32km VR77.25/2) 北西一南東方向に圧縮軸を持つ型
42) 宮古島近海　(08/11 17:40 Mw4.0 H_35km VR88.34/2) 北西一南東圧縮の逆断層
65) 沖縄本島近海　(08/16 08:28 Mw4.1 H_59km VR79.85/3) 北西一南東圧縮の逆断層
75) 台湾付近　(08/19 10:26 Mw4.6 H_35km VR74.31/3) 北西一南東方向に圧縮軸を持つ型
90) 台湾付近　(08/24 21:55 Mw4.6 H_35km VR84.15/3) 北西一南東圧縮の横ずれ断層
98) 台湾付近　(08/27 22:10 Mw5.4 H119km VR86.00/3) 東西方向に圧縮軸を持つ型

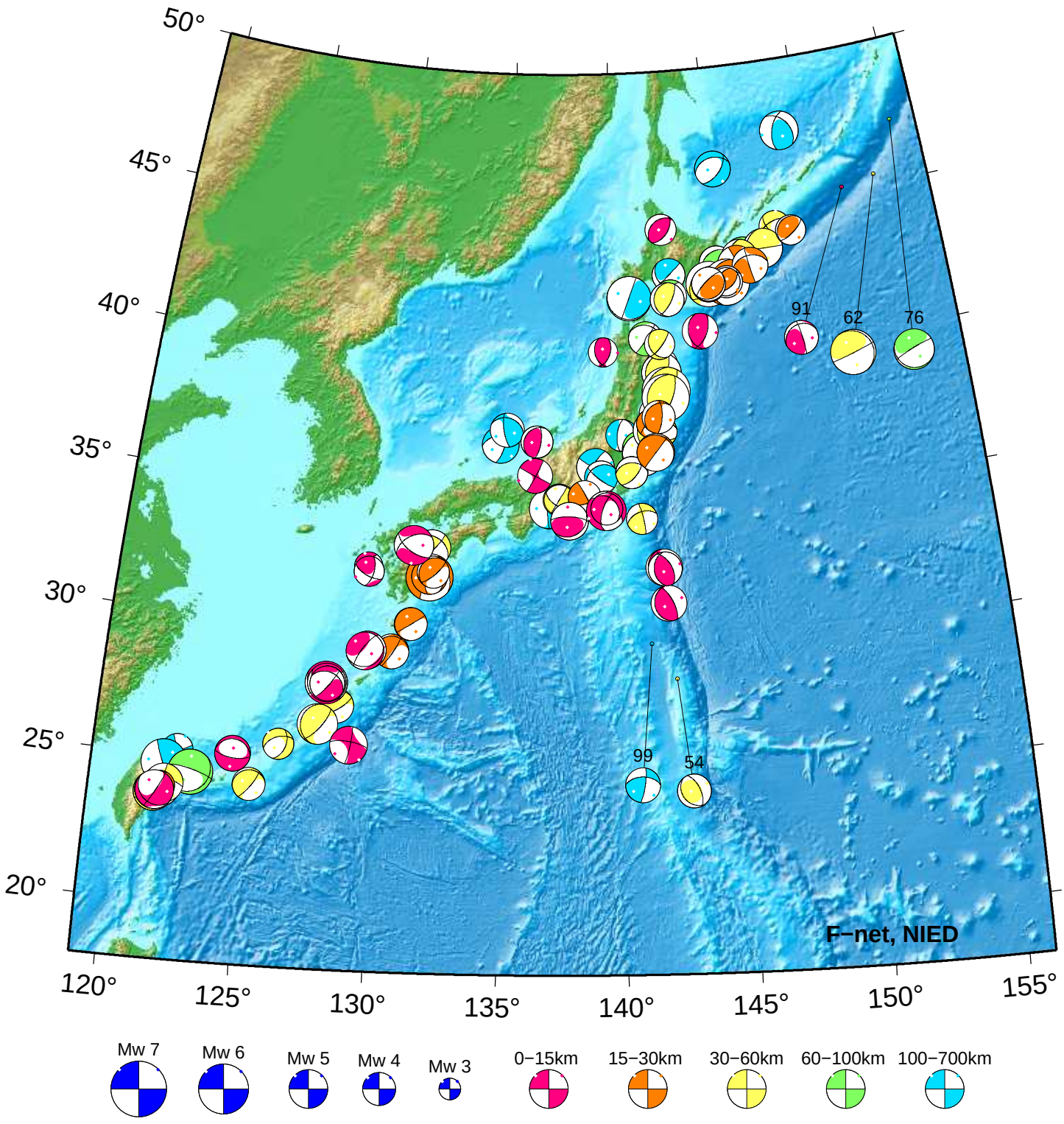
100) 沖縄本島近海　　(08/28 12:12 Mw4.8 H_56km VR79.91/3) 西北西ー東南東圧縮の逆断層

---

*Mw4.0以上をリストアップ.
**下線部はMw5.0以上を示す.
***”VR”欄の”/”の後の数は解析に使用した観測点数を示す.
****断層タイプの分類はFrohlich [1992]による.
謝辞　地形データは海上保安庁のものを使用させて頂きました. 記して感謝いたします.

NIED Moment Tensor Solutions

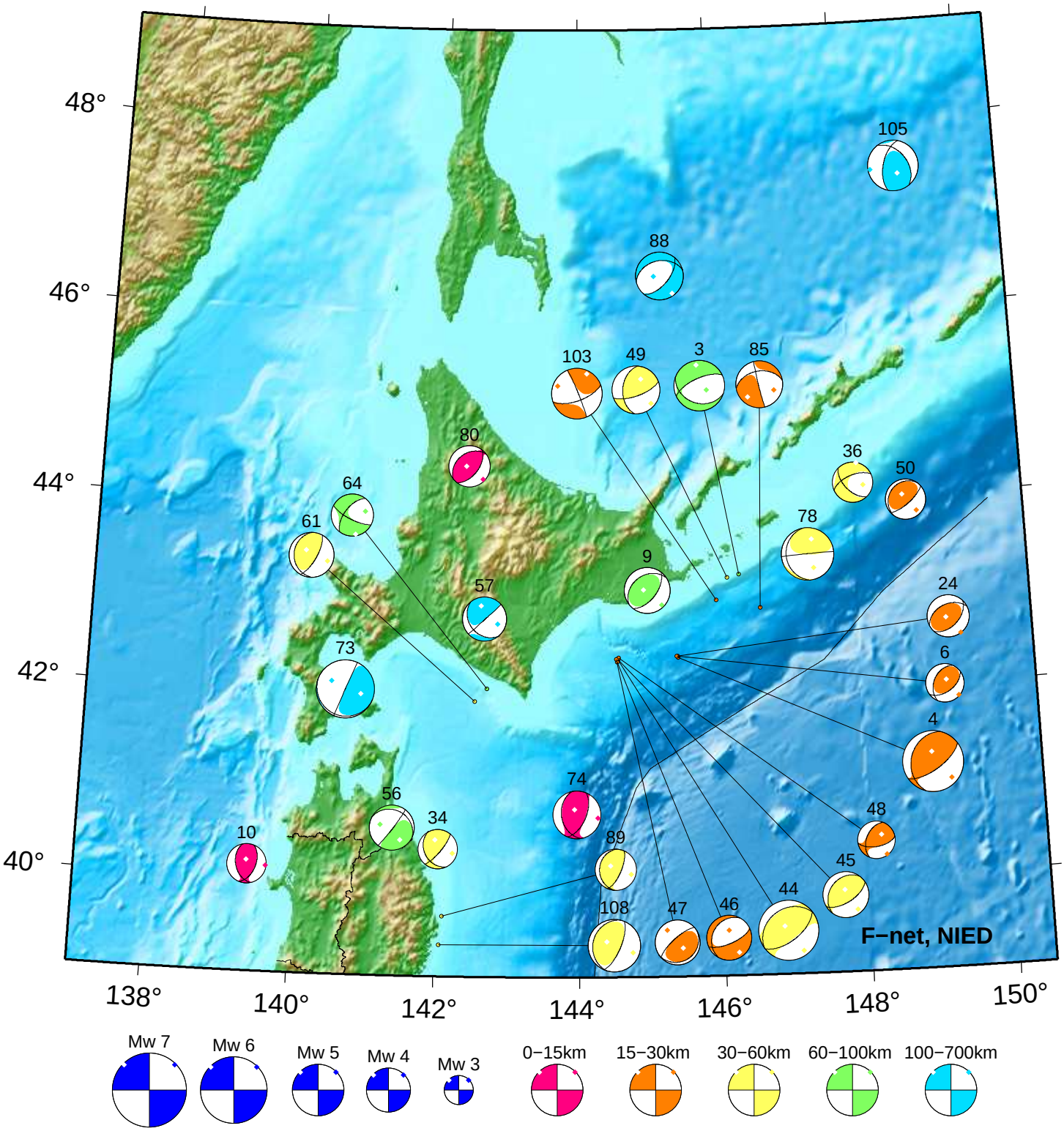
Aug 01,2025−Aug 31,2025(JST)



54. 08/14 06:26 Mw4.0 H_38km VR67.7
62. 08/16 00:50 Mw5.4 H_59km VR72.2
76. 08/19 21:25 Mw4.8 H_74km VR77.1
91. 08/24 22:12 Mw4.0 H__5km VR64.3
99. 08/28 10:18 Mw4.2 H101km VR61.9

Hokkaido

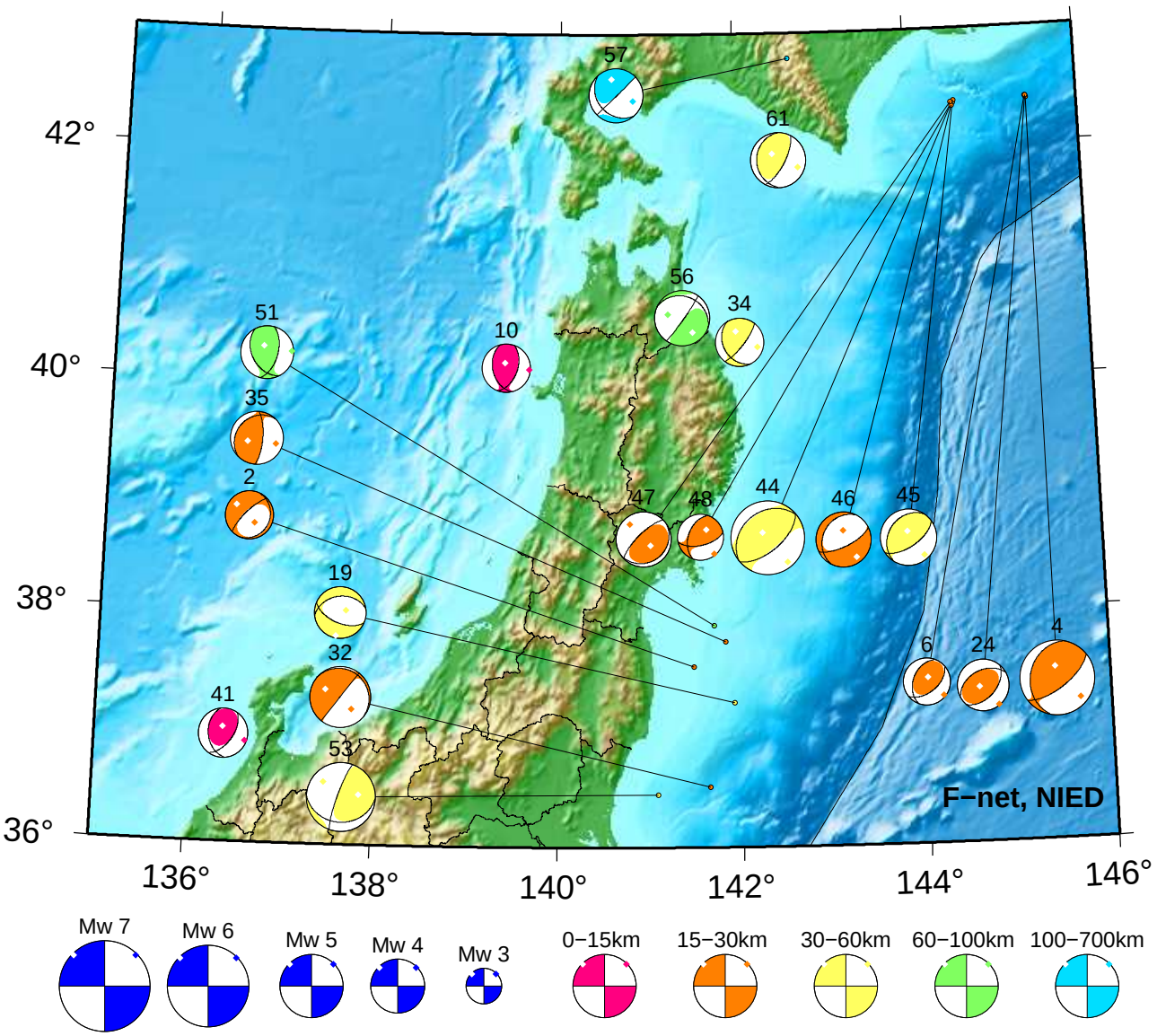
Aug 01,2025−Aug 31,2025(JST)



3. 08/02 06:18 Mw4.5 H_74km VR87.2
4. 08/02 07:27 Mw5.4 H_26km VR77.9
6. 08/02 11:37 Mw3.4 H_17km VR53.3
9. 08/04 23:40 Mw4.1 H_62km VR91.0
10. 08/05 01:42 Mw3.5 H_11km VR83.6
24. 08/06 06:18 Mw3.8 H_17km VR73.8
34. 08/09 02:36 Mw3.6 H_50km VR70.8
36. 08/09 11:46 Mw3.6 H_53km VR68.6
44. 08/12 18:11 Mw5.4 H_35km VR80.5
45. 08/12 22:08 Mw4.1 H_35km VR80.2
46. 08/12 22:09 Mw4.0 H_20km VR76.9
47. 08/12 23:31 Mw4.1 H_17km VR76.4
48. 08/13 04:41 Mw3.4 H_23km VR62.5
49. 08/13 07:50 Mw4.3 H_47km VR89.2
50. 08/13 12:51 Mw3.6 H_17km VR54.5
56. 08/14 12:48 Mw4.1 H_62km VR65.3
57. 08/14 16:31 Mw4.0 H116km VR77.0
61. 08/15 15:04 Mw4.0 H_56km VR76.2
64. 08/16 05:20 Mw3.8 H_65km VR80.5
73. 08/19 07:19 Mw5.2 H135km VR90.8
74. 08/19 07:58 Mw4.3 H_11km VR82.0
78. 08/21 06:24 Mw4.7 H_50km VR88.5
80. 08/21 16:58 Mw3.7 H__5km VR81.3
85. 08/23 18:36 Mw4.2 H_20km VR86.8
88. 08/24 04:35 Mw4.3 H420km VR63.9
89. 08/24 13:58 Mw3.7 H_59km VR67.0
103. 08/28 18:50 Mw4.5 H_29km VR80.0
105. 08/29 15:39 Mw4.5 H400km VR87.7
108. 08/30 18:26 Mw4.7 H_53km VR95.4

Tohoku

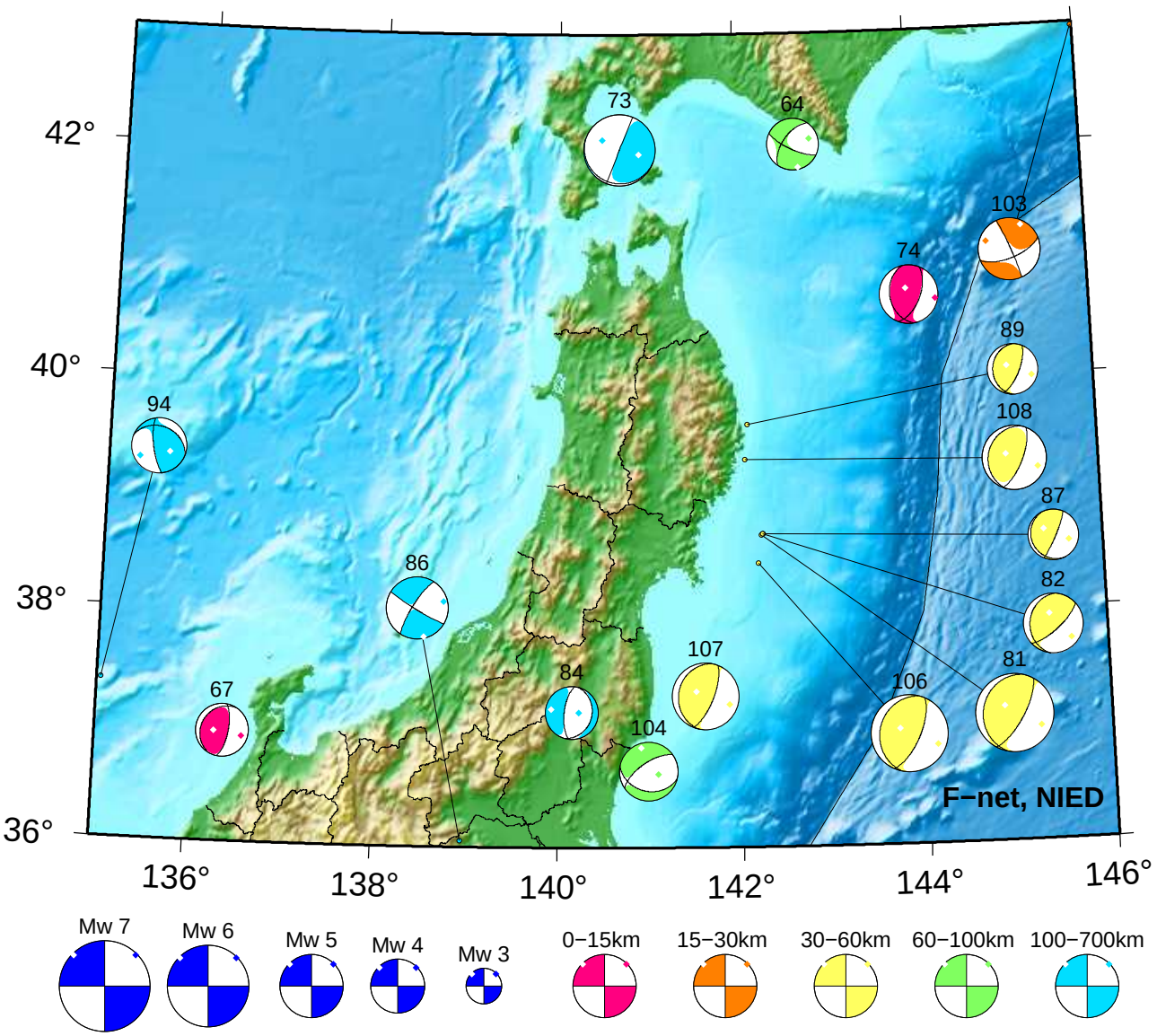
Aug 01,2025−Aug 15,2025(JST)



2. 08/01 15:30 Mw3.5 H_23km VR51.1
4. 08/02 07:27 Mw5.4 H_26km VR77.9
6. 08/02 11:37 Mw3.4 H_17km VR53.3
10. 08/05 01:42 Mw3.5 H_11km VR83.6
19. 08/05 15:29 Mw3.8 H_41km VR67.3
24. 08/06 06:18 Mw3.8 H_17km VR73.8
32. 08/08 19:29 Mw4.5 H_17km VR81.6
34. 08/09 02:36 Mw3.6 H_50km VR70.8
35. 08/09 08:24 Mw3.9 H_20km VR60.7
41. 08/11 09:15 Mw3.6 H__5km VR84.2
44. 08/12 18:11 Mw5.4 H_35km VR80.5
45. 08/12 22:08 Mw4.1 H_35km VR80.2
46. 08/12 22:09 Mw4.0 H_20km VR76.9
47. 08/12 23:31 Mw4.1 H_17km VR76.4
48. 08/13 04:41 Mw3.4 H_23km VR62.5
51. 08/13 13:34 Mw3.9 H_71km VR67.2
53. 08/14 04:13 Mw5.0 H_47km VR91.0
56. 08/14 12:48 Mw4.1 H_62km VR65.3
57. 08/14 16:31 Mw4.0 H116km VR77.0
61. 08/15 15:04 Mw4.0 H_56km VR76.2

Tohoku

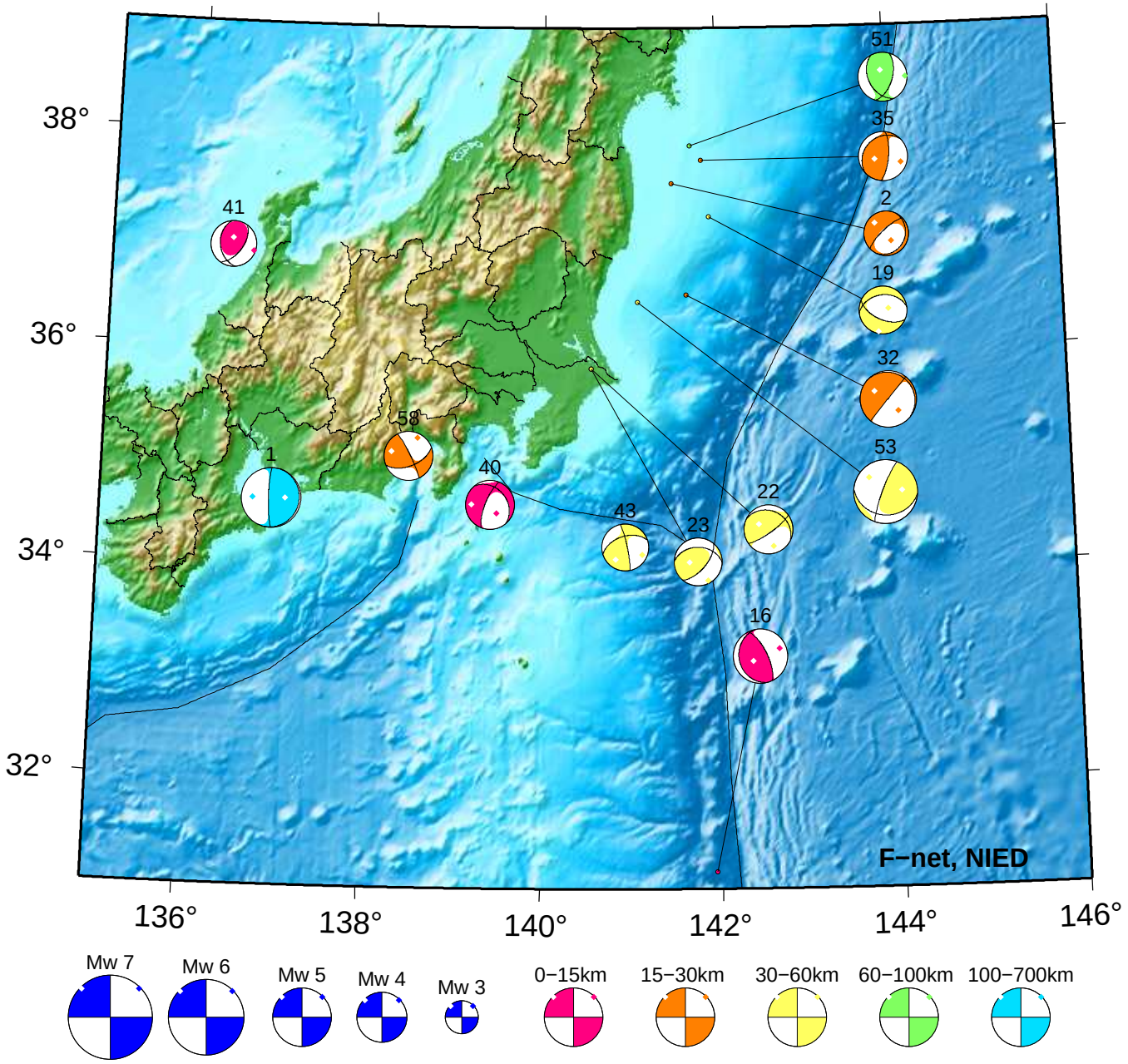
Aug 16,2025−Aug 31,2025(JST)



64. 08/16 05:20 Mw3.8 H_65km VR80.5
67. 08/17 20:50 Mw3.8 H__5km VR90.2
73. 08/19 07:19 Mw5.2 H135km VR90.8
74. 08/19 07:58 Mw4.3 H_11km VR82.0
81. 08/22 07:34 Mw5.7 H_44km VR94.8
82. 08/22 08:06 Mw4.4 H_44km VR87.4
84. 08/23 17:32 Mw3.9 H135km VR66.4
86. 08/23 19:22 Mw4.5 H150km VR51.2
87. 08/24 02:18 Mw3.7 H_44km VR86.7
89. 08/24 13:58 Mw3.7 H_59km VR67.0
94. 08/27 07:20 Mw4.1 H340km VR69.5
103. 08/28 18:50 Mw4.5 H_29km VR80.0
104. 08/29 04:54 Mw4.3 H_89km VR89.3
106. 08/30 01:29 Mw5.6 H_41km VR94.6
107. 08/30 01:50 Mw4.9 H_41km VR91.2
108. 08/30 18:26 Mw4.7 H_53km VR95.4

Kanto−Chubu

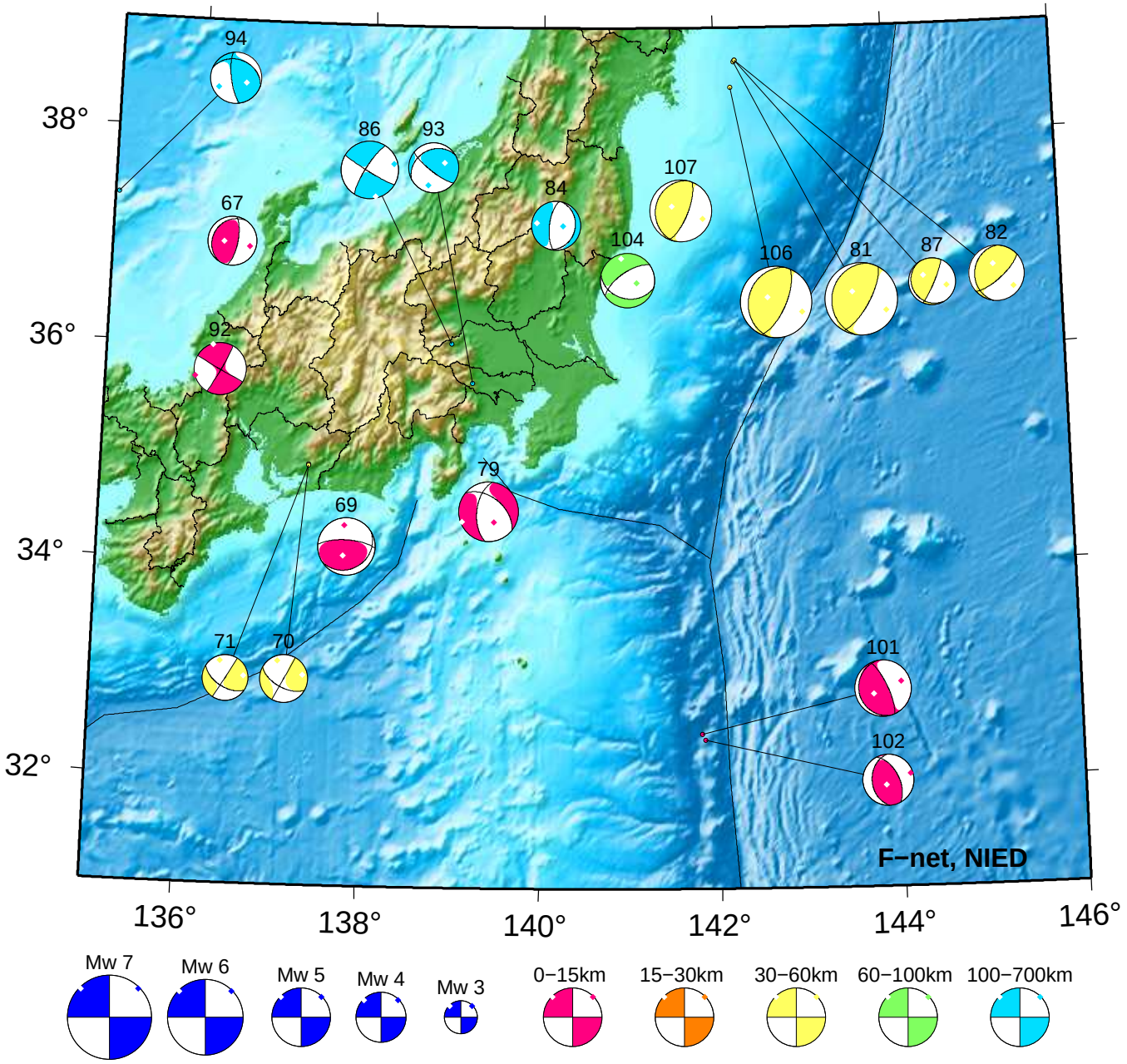
Aug 01,2025−Aug 15,2025(JST)



1. 08/01 08:24 Mw4.7 H320km VR84.2
2. 08/01 15:30 Mw3.5 H_23km VR51.1
16. 08/05 08:53 Mw4.3 H__5km VR70.8
19. 08/05 15:29 Mw3.8 H_41km VR67.3
22. 08/06 04:19 Mw3.8 H_41km VR77.8
23. 08/06 04:26 Mw3.8 H_41km VR85.2
32. 08/08 19:29 Mw4.5 H_17km VR81.6
35. 08/09 08:24 Mw3.9 H_20km VR60.7
40. 08/10 20:08 Mw3.8 H__5km VR63.5
41. 08/11 09:15 Mw3.6 H__5km VR84.2
43. 08/11 18:16 Mw3.7 H_47km VR73.2
51. 08/13 13:34 Mw3.9 H_71km VR67.2
53. 08/14 04:13 Mw5.0 H_47km VR91.0
58. 08/14 23:17 Mw3.9 H_26km VR92.2

Kanto−Chubu

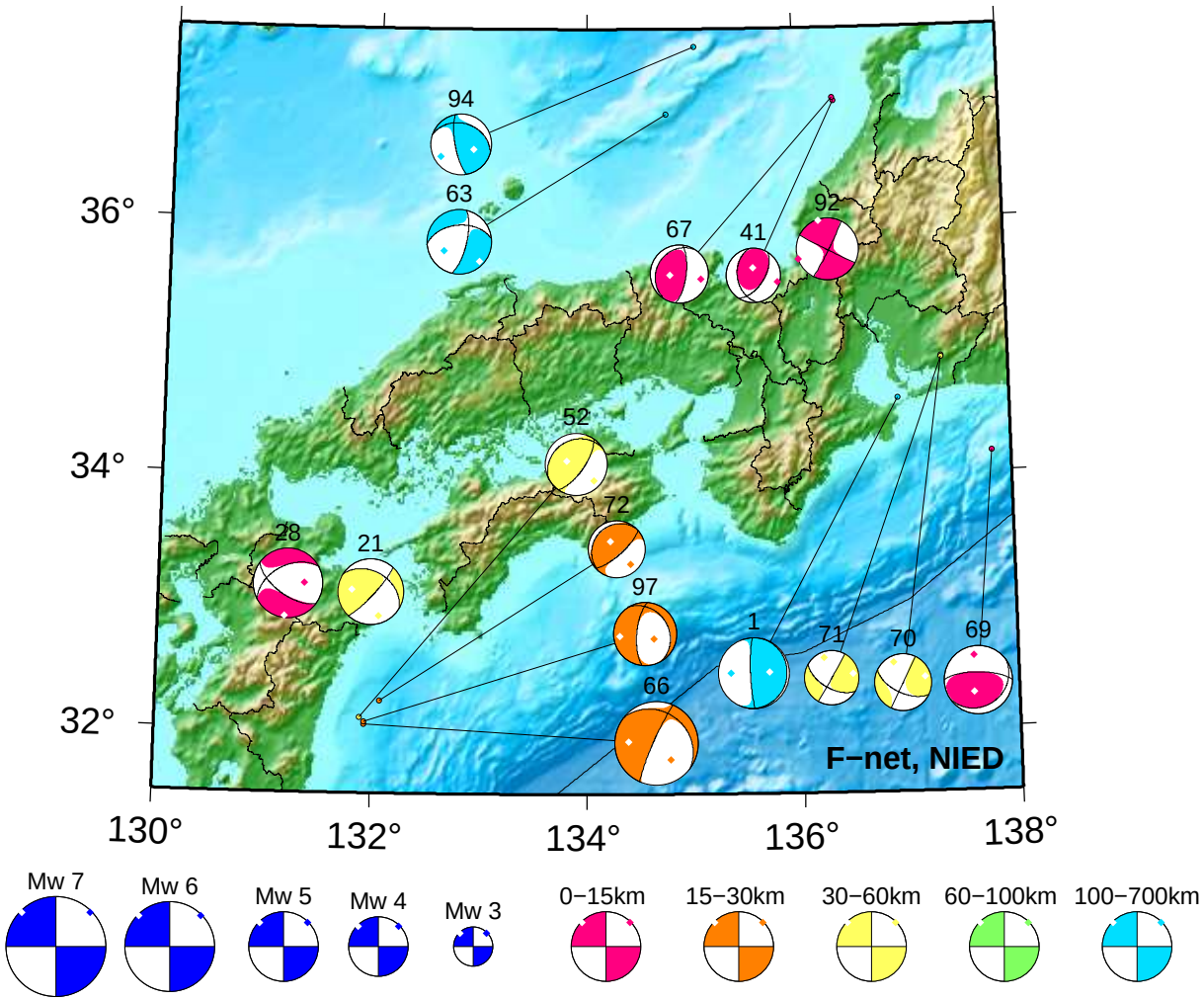
Aug 16,2025−Aug 31,2025(JST)



67. 08/17 20:50 Mw3.8 H__5km VR90.2
69. 08/18 08:33 Mw4.5 H__8km VR76.7
70. 08/18 21:57 Mw3.8 H_38km VR82.3
71. 08/18 23:12 Mw3.6 H_35km VR94.4
79. 08/21 10:44 Mw4.7 H__5km VR88.7
81. 08/22 07:34 Mw5.7 H_44km VR94.8
82. 08/22 08:06 Mw4.4 H_44km VR87.4
84. 08/23 17:32 Mw3.9 H135km VR66.4
86. 08/23 19:22 Mw4.5 H150km VR51.2
87. 08/24 02:18 Mw3.7 H_44km VR86.7
92. 08/25 01:44 Mw4.1 H__8km VR96.3
93. 08/26 16:19 Mw4.0 H145km VR59.9
94. 08/27 07:20 Mw4.1 H340km VR69.5
101. 08/28 18:28 Mw4.4 H__5km VR64.1
102. 08/28 18:45 Mw4.0 H__5km VR77.5
104. 08/29 04:54 Mw4.3 H_89km VR89.3
106. 08/30 01:29 Mw5.6 H_41km VR94.6
107. 08/30 01:50 Mw4.9 H_41km VR91.2

Kinki−Chugoku−Shikoku

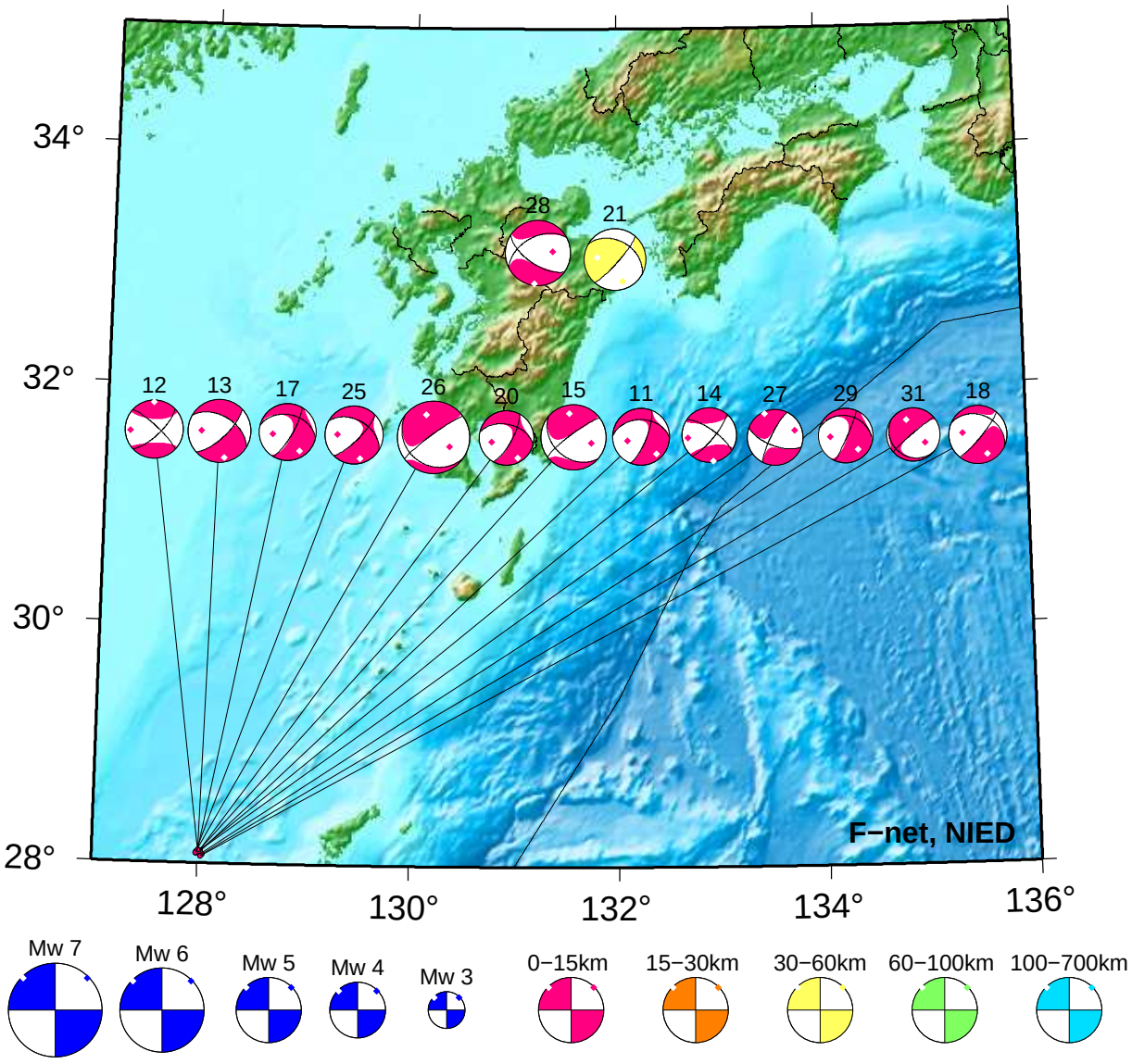
Aug 01,2025−Aug 31,2025(JST)



1. 08/01 08:24 Mw4.7 H320km VR84.2
21. 08/06 02:53 Mw4.4 H_56km VR90.8
28. 08/07 08:47 Mw4.6 H__5km VR83.4
41. 08/11 09:15 Mw3.6 H__5km VR84.2
52. 08/13 18:52 Mw4.2 H_32km VR84.8
63. 08/16 05:03 Mw4.3 H380km VR94.3
66. 08/17 06:13 Mw5.6 H_29km VR83.4
67. 08/17 20:50 Mw3.8 H__5km VR90.2
69. 08/18 08:33 Mw4.5 H__8km VR76.7
70. 08/18 21:57 Mw3.8 H_38km VR82.3
71. 08/18 23:12 Mw3.6 H_35km VR94.4
72. 08/19 07:17 Mw3.8 H_17km VR79.1
92. 08/25 01:44 Mw4.1 H__8km VR96.3
94. 08/27 07:20 Mw4.1 H340km VR69.5
97. 08/27 21:50 Mw4.2 H_26km VR80.0

Kyushu

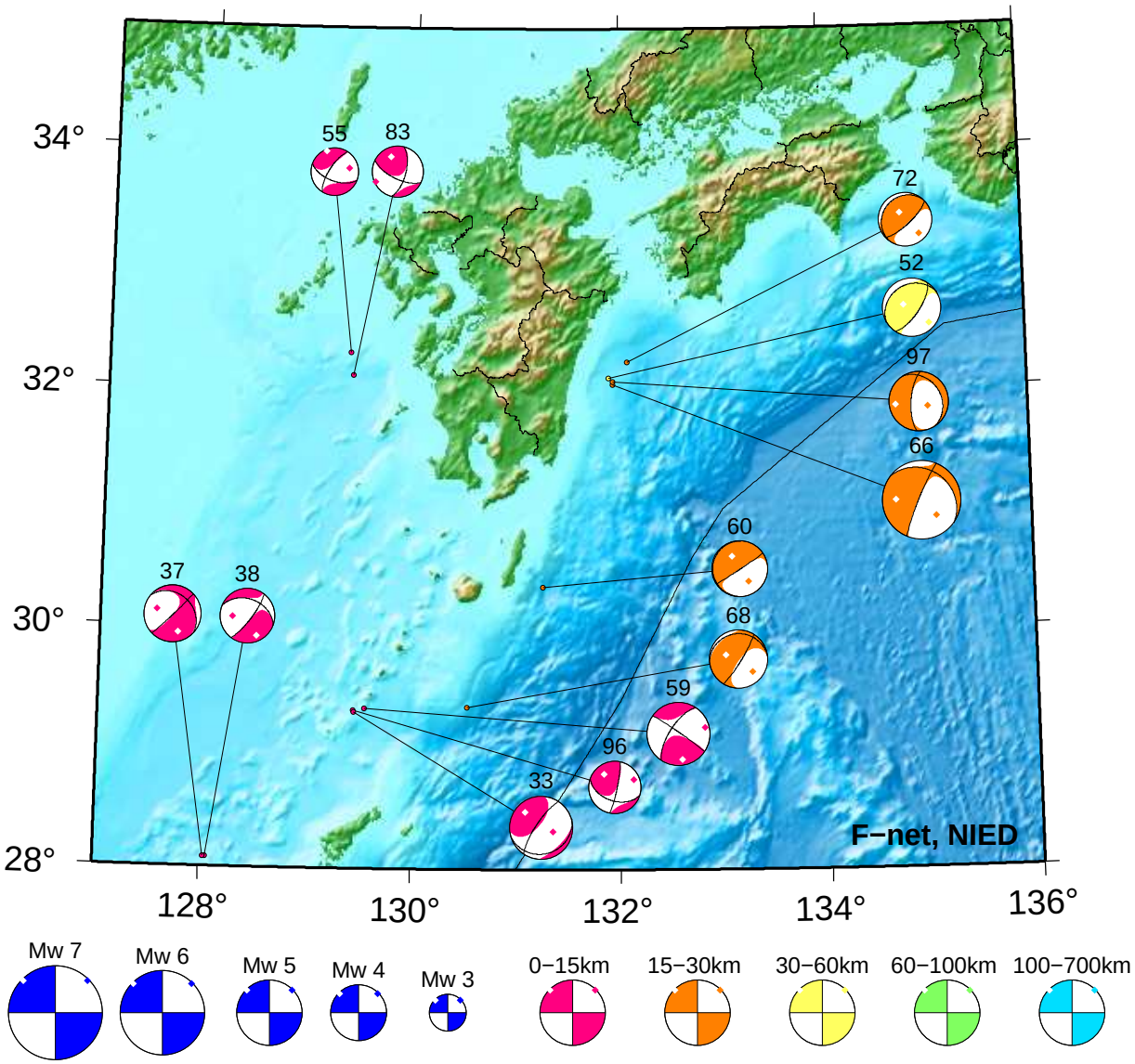
Aug 01,2025−Aug 08,2025(JST)



11. 08/05 03:58 Mw4.0 H__5km VR88.3
12. 08/05 06:30 Mw4.1 H__5km VR74.0
13. 08/05 07:44 Mw4.4 H__5km VR90.6
14. 08/05 07:59 Mw3.8 H__5km VR76.8
15. 08/05 08:39 Mw4.6 H__5km VR90.7
17. 08/05 10:00 Mw4.0 H__5km VR82.0
18. 08/05 12:29 Mw4.1 H__5km VR81.8
20. 08/05 17:53 Mw3.8 H__5km VR70.9
21. 08/06 02:53 Mw4.4 H_56km VR90.8
25. 08/06 07:51 Mw4.1 H__5km VR87.2
26. 08/06 09:56 Mw5.1 H__5km VR90.0
27. 08/06 10:08 Mw4.0 H__5km VR64.8
28. 08/07 08:47 Mw4.6 H__5km VR83.4
29. 08/07 10:04 Mw3.9 H__5km VR79.6
31. 08/07 22:26 Mw3.8 H__5km VR65.7

Kyushu

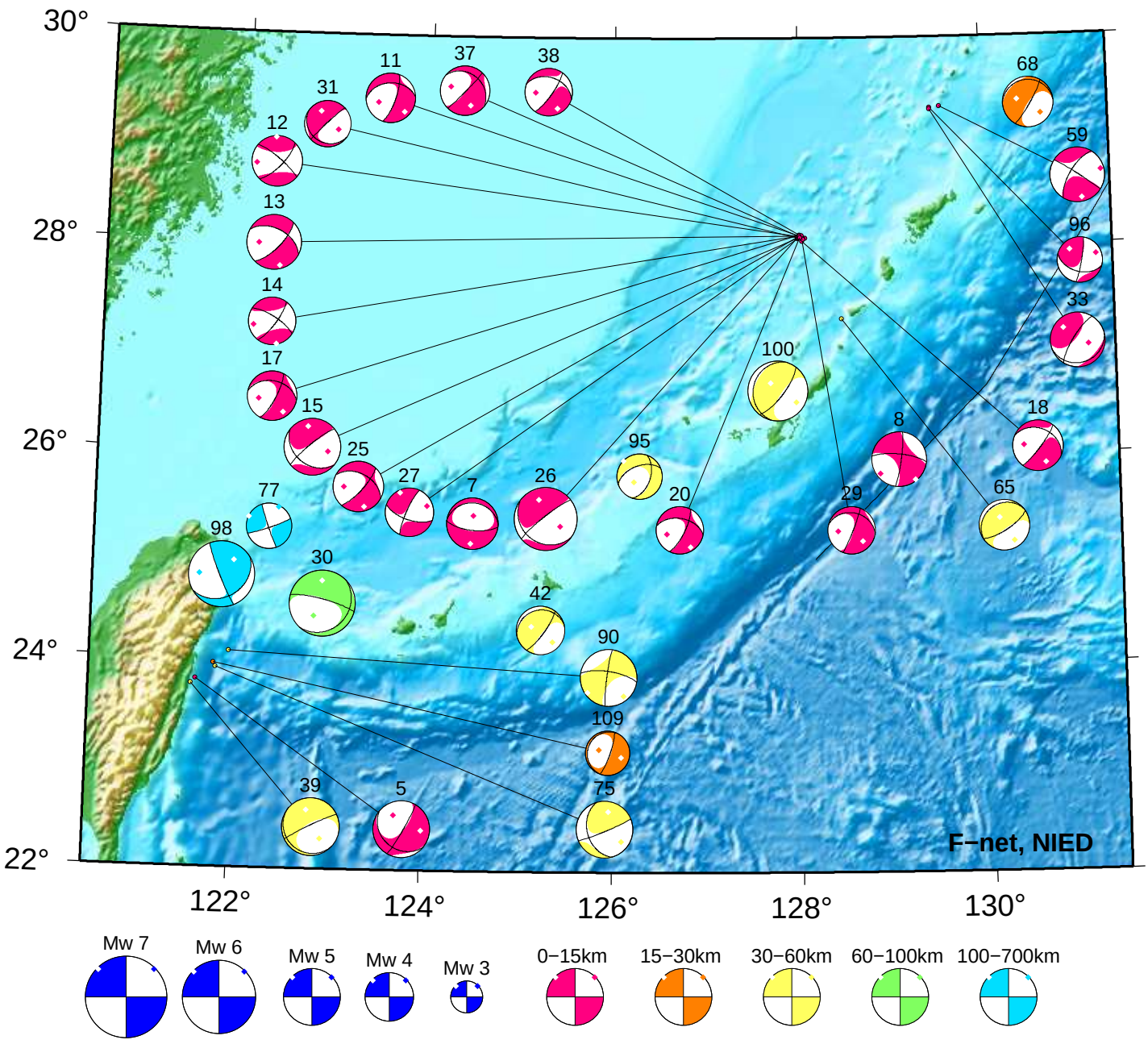
Aug 09,2025−Aug 31,2025(JST)



33. 08/09 00:18 Mw4.5 H__5km VR88.2
37. 08/09 15:41 Mw4.0 H__5km VR83.8
38. 08/10 04:03 Mw3.9 H__5km VR59.5
52. 08/13 18:52 Mw4.2 H_32km VR84.8
55. 08/14 11:38 Mw3.4 H__8km VR72.5
59. 08/15 03:25 Mw4.4 H__5km VR83.0
60. 08/15 04:55 Mw3.9 H_20km VR70.6
66. 08/17 06:13 Mw5.6 H_29km VR83.4
68. 08/17 23:27 Mw4.1 H_23km VR84.7
72. 08/19 07:17 Mw3.8 H_17km VR79.1
83. 08/23 10:43 Mw3.6 H__8km VR56.9
96. 08/27 17:52 Mw3.7 H__8km VR74.9
97. 08/27 21:50 Mw4.2 H_26km VR80.0

Okinawa

Aug 01,2025−Aug 31,2025(JST)



5. 08/02 08:48 Mw4.6 H__5km VR75.6
7. 08/03 11:15 Mw4.2 H__5km VR87.8
8. 08/03 14:23 Mw4.5 H__5km VR61.4
11. 08/05 03:58 Mw4.0 H__5km VR88.3
12. 08/05 06:30 Mw4.1 H__5km VR74.0
13. 08/05 07:44 Mw4.4 H__5km VR90.6
14. 08/05 07:59 Mw3.8 H__5km VR76.8
15. 08/05 08:39 Mw4.6 H__5km VR90.7
17. 08/05 10:00 Mw4.0 H__5km VR82.0
18. 08/05 12:29 Mw4.1 H__5km VR81.8
20. 08/05 17:53 Mw3.8 H__5km VR70.9
25. 08/06 07:51 Mw4.1 H__5km VR87.2
26. 08/06 09:56 Mw5.1 H__5km VR90.0
27. 08/06 10:08 Mw4.0 H__5km VR64.8
29. 08/07 10:04 Mw3.9 H__5km VR79.6
30. 08/07 16:45 Mw5.4 H_98km VR89.5
31. 08/07 22:26 Mw3.8 H__5km VR65.7
33. 08/09 00:18 Mw4.5 H__5km VR88.2
37. 08/09 15:41 Mw4.0 H__5km VR83.8
38. 08/10 04:03 Mw3.9 H__5km VR59.5
39. 08/10 15:03 Mw4.7 H_32km VR77.2
42. 08/11 17:40 Mw4.0 H_35km VR88.3
59. 08/15 03:25 Mw4.4 H__5km VR83.0
65. 08/16 08:28 Mw4.1 H_59km VR79.8
68. 08/17 23:27 Mw4.1 H_23km VR84.7
75. 08/19 10:26 Mw4.6 H_35km VR74.3
77. 08/21 04:50 Mw3.7 H230km VR50.3
90. 08/24 21:55 Mw4.6 H_35km VR84.2
95. 08/27 08:56 Mw3.7 H_47km VR68.5
96. 08/27 17:52 Mw3.7 H__8km VR74.9
98. 08/27 22:10 Mw5.4 H119km VR86.0
100. 08/28 12:12 Mw4.8 H_56km VR79.9
109. 08/31 23:51 Mw3.6 H_29km VR61.9

紀伊半島・東海地域の深部低周波微動活動状況
（2025 年 8 月）

● 8 月 28 ～ 31 日頃に紀伊半島南部において，やや活発な微動活動.

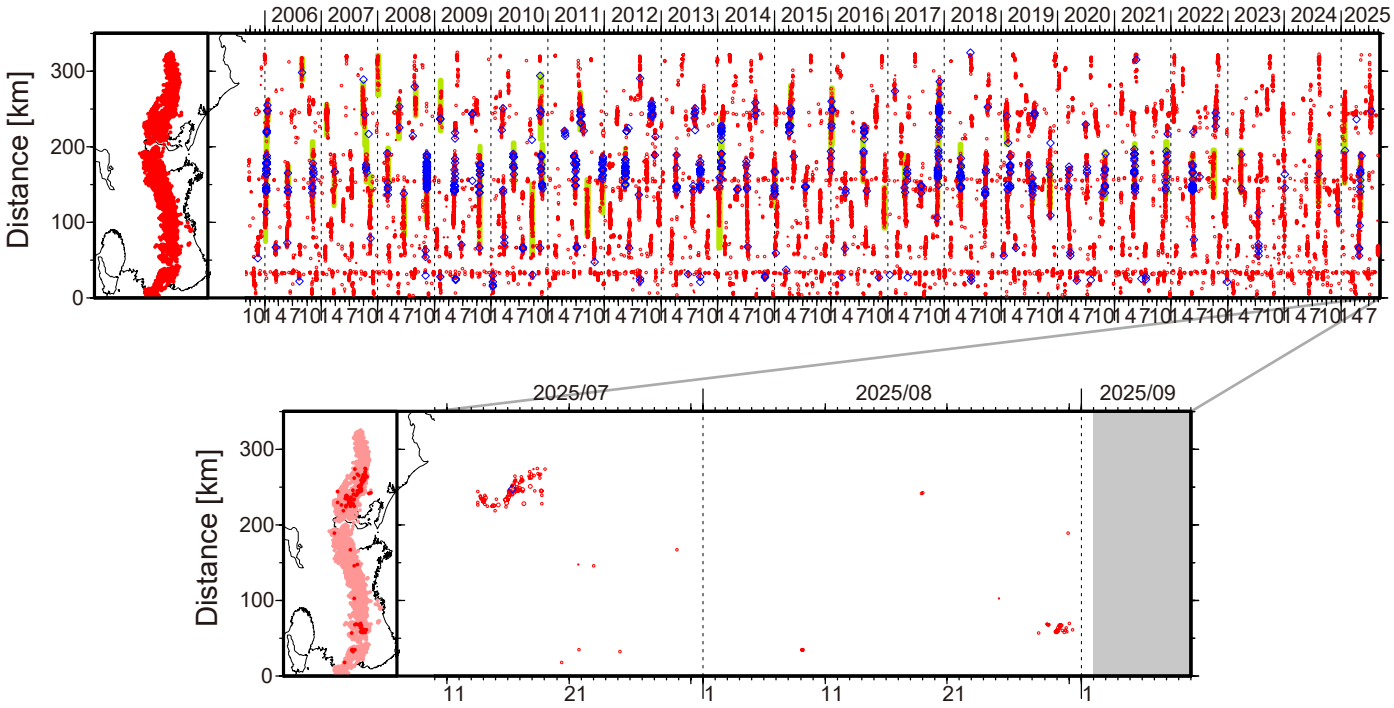


図 1．紀伊半島･東海地域における 2005 年 9 月～ 2025 年 9 月 1 日までの深部低周波微動の時空間分布（上図）．赤丸はエンベロープ相関・振幅ハイブリッド法 (Maeda and Obara, 2009) およびクラスタ処理 (Obara et al., 2010) によって 1 時間毎に自動処理された微動分布の重心である．青菱形は周期 20 秒に卓越する超低周波地震 (Ito et al., 2007) である．黄緑色の太線はこれまでに検出された短期的スロースリップイベント (SSE) を示す．下図は 2025 年 8 月を中心とした期間の拡大図である．8 月 28 ～ 31 日頃には，奈良県南部においてやや活発な活動がみられた．この活動ではやや南方向への活動域の移動がみられた．8 月 9 日頃には，和歌山県中部においてごく小規模な活動がみられた．

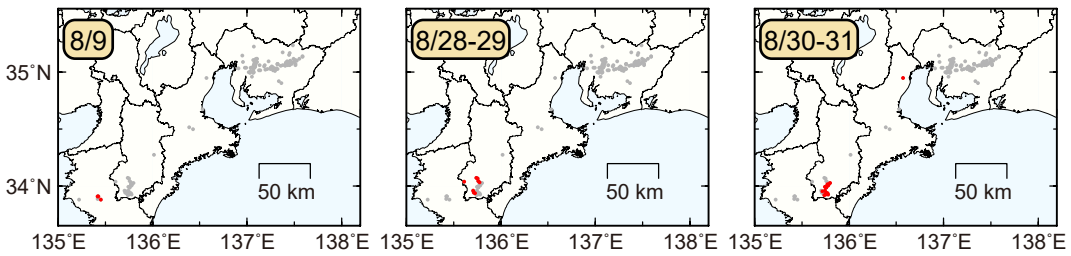


図 2．各期間に発生した微動（赤丸）の分布．灰丸は，図 1 の拡大図で示した期間における微動分布を示す.

四国の深部低周波微動活動状況　（2025 年 8 月）

● 顕著な活動は，とくにみられなかった．

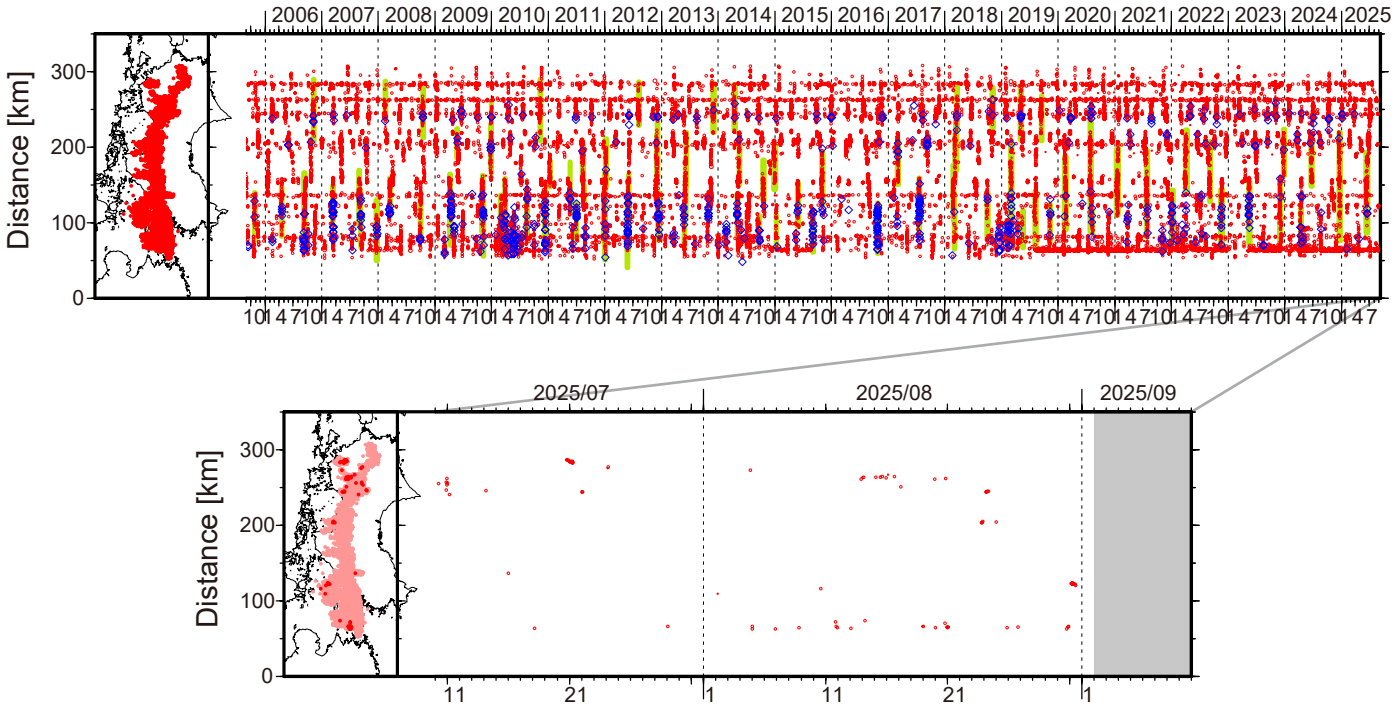


図 1．四国における 2005 年 9 月～ 2025 年 9 月 1 日までの深部低周波微動の時空間分布（上図）．赤丸はエンベロープ相関・振幅ハイブリッド法 (Maeda and Obara, 2009) およびクラスタ処理 (Obara et al., 2010) によって 1 時間毎に自動処理された微動分布の重心である．青菱形は周期 20 秒に卓越する超低周波地震 (Ito et al., 2007) である．黄緑色太線は，これまでに検出された短期的スロースリップイベント (SSE) を示す．下図は 2025 年 8 月を中心とした期間の拡大図である．8 月以降の期間に顕著な活動はとくにみられなかったものの，8 月 13 ～ 14 日頃および 8 月 15 ～ 17 日頃に香川・徳島県境付近において，ごく小規模および小規模な活動がそれぞれみられた．8 月 23 日頃には愛媛県東部において，8 月 24 日頃には愛媛・香川・徳島県境付近において，8 月 31 日頃には伊予灘付近において，それぞれごく小規模な活動がみられた．

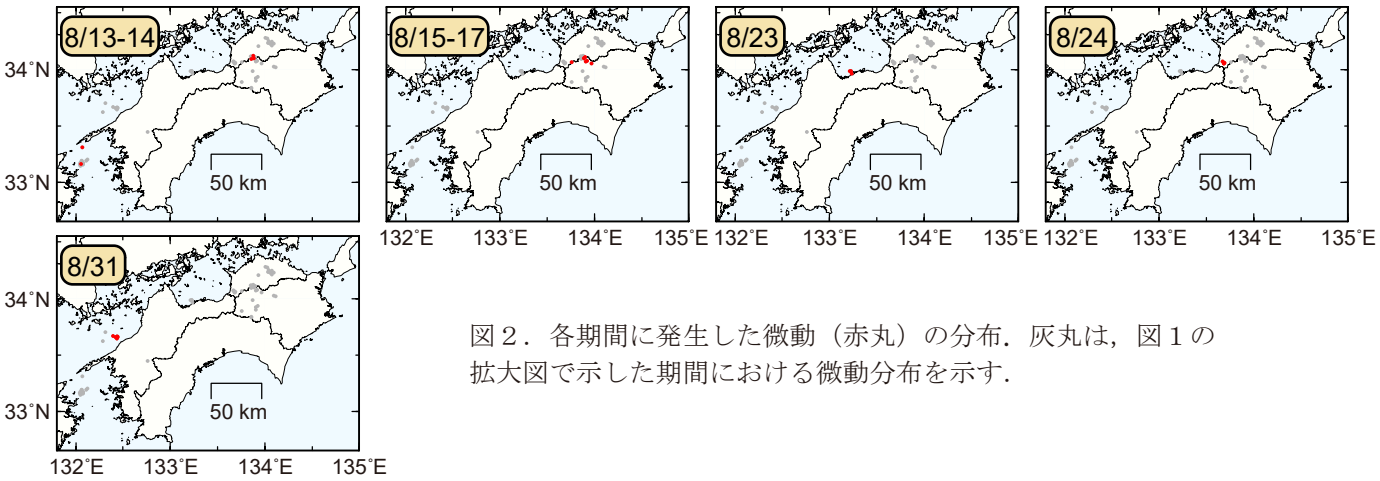


図 2．各期間に発生した微動（赤丸）の分布．灰丸は，図 1 の拡大図で示した期間における微動分布を示す．

令和7年7月30日カムチャツカ半島付近の地震による津波観測記録

防災科研 NIED

2025年7月30日8時25分頃 (日本時間) にカムチャツカ半島付近でMw8.7 (Global CMT) の地震が発生し，その約1.5–4 時間後に日本周辺の海底観測網に到達した．

明瞭な第1波と数日以上にわたって継続する後続波が確認された．とくに，地震から約48時間後に明瞭な波群が記録されていた．Global CMT解にもとづいて津波を計算したところ，第1波部分をおおむね再現した．

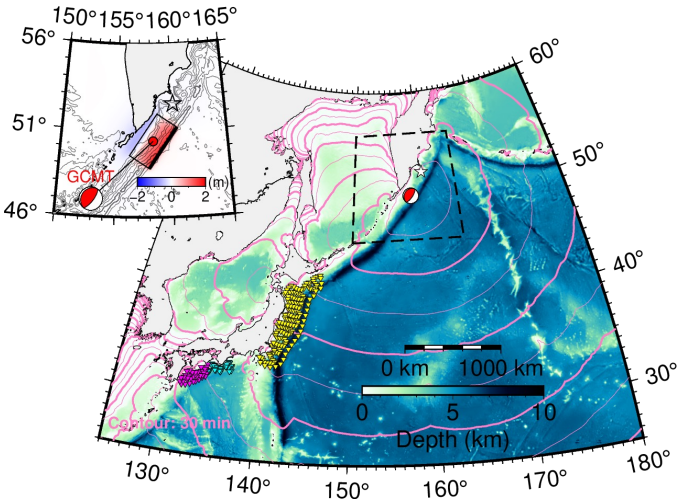


Fig. 1

Fig. 1. 観測点の位置，およびUSGSの震央 (白星) とGlobal CMTのメカニズム解．ピンク線は海底地形から簡易的に予想される津波の第一波到達時刻 (細線: 30min, 太線: 1hour)。Global CMT解にもとづいて仮定した矩形断層，およびそれによる海底上下変位分布も示している．

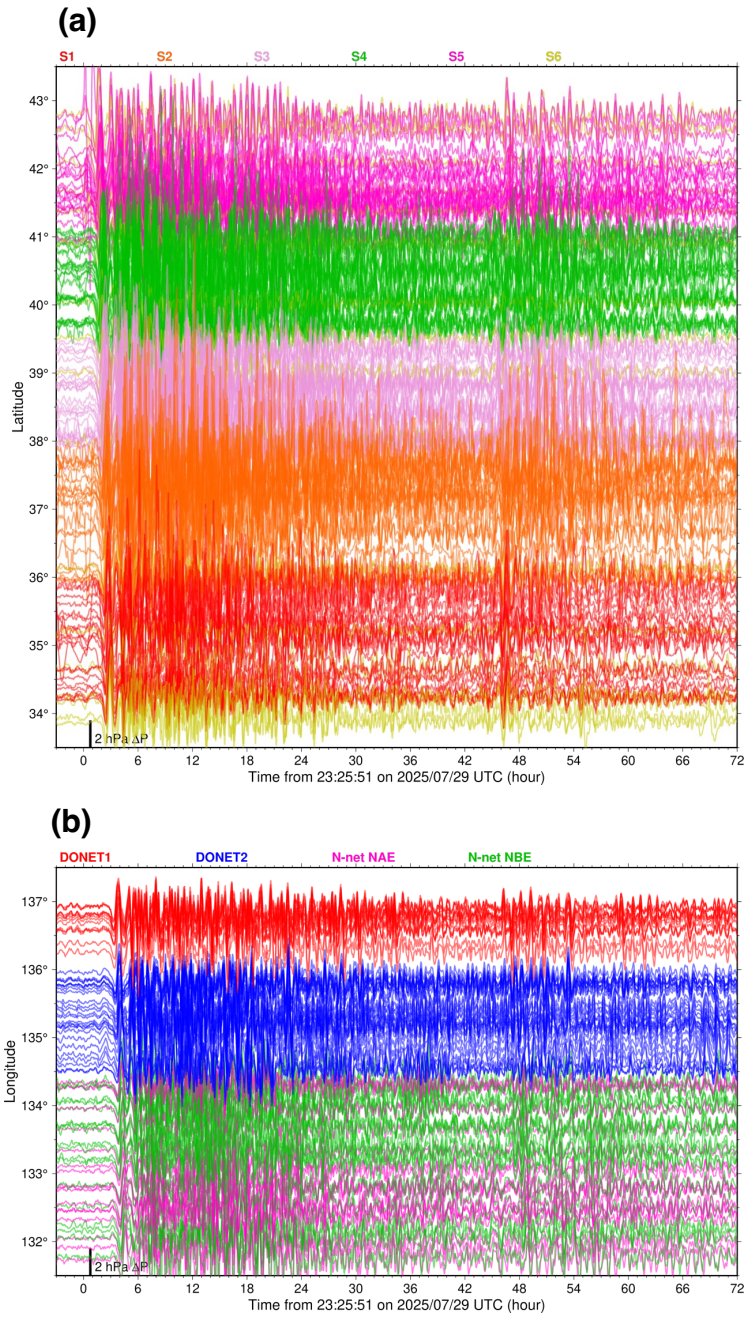


Fig. 2

Fig. 2. (a) S-net と **(b)** DONET・N-netにおける，地震発生後72時間の水圧波形．潮汐を除去したのち，2次のバターワース型のバンドパスフィルタ (600 – 7,200s) を順方向・逆方向に2回適用した．横軸は地震発生からの経過時間．水圧波形は観測点の座標 (S-netは緯度，DONETとN-netは経度) に従って並べており，かつ，海底観測網のサブシステムごとに色分けしている．

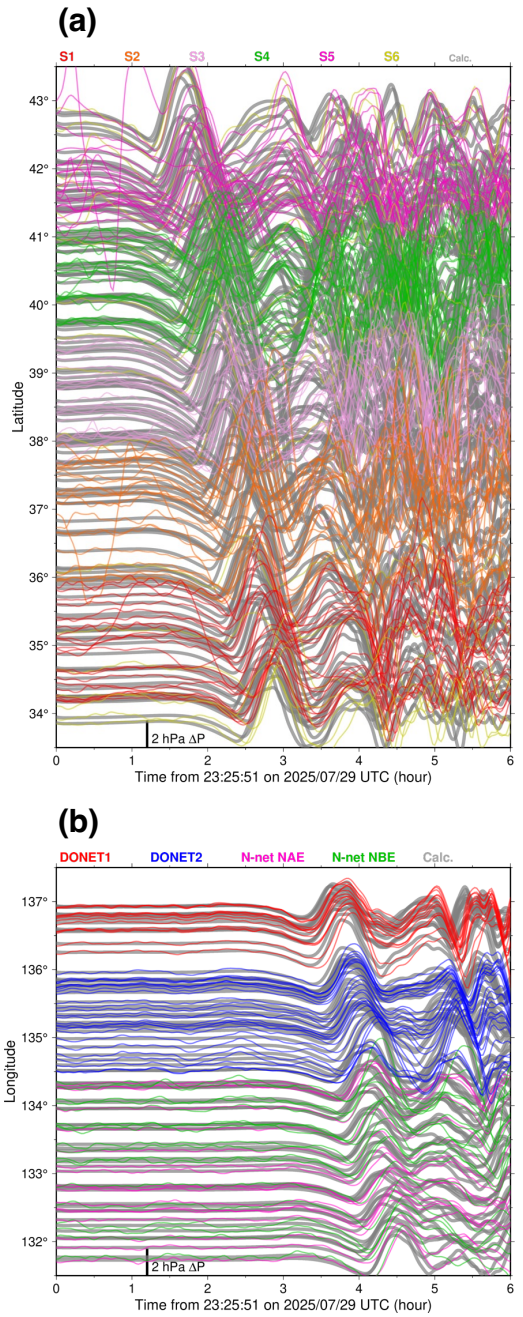


Fig. 3

Fig. 3. Fig. 2のうち，地震発生から6時間の波形を拡大したもの．Global CMT解にもとづいて， Nakamura & Baba (2016) の手法により計算された理論波形を灰色で示している．

[**謝辞**] Global CMT解 を使用した.

[**参考文献**] Nakamura, T. and T. Baba (2016) doi:10.4031/MTSJ.50.3.11

令和7年7月30日カムチャツカ半島付近の地震の津波エンベロープ波形

防災科研 NIED

2025年7月30日カムチャツカ半島付近の地震 (Mw8.7, Global CMT) における日本周辺の海底水圧計のエンベロープ波形を計算したところ，その振幅が背景ノイズレベルよりも高い状態は地震発生から5日から1週間ほど継続していた．

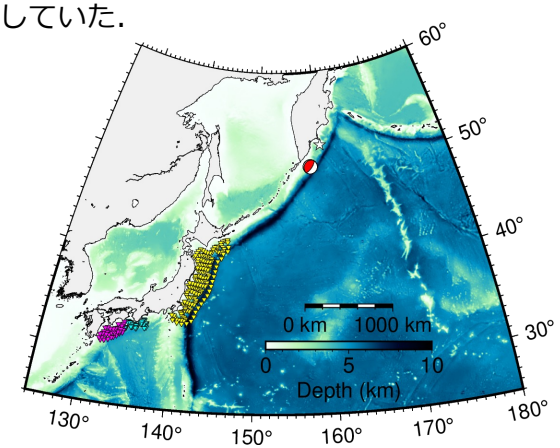


Fig. 1

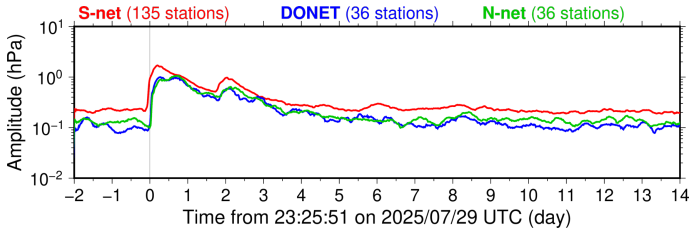
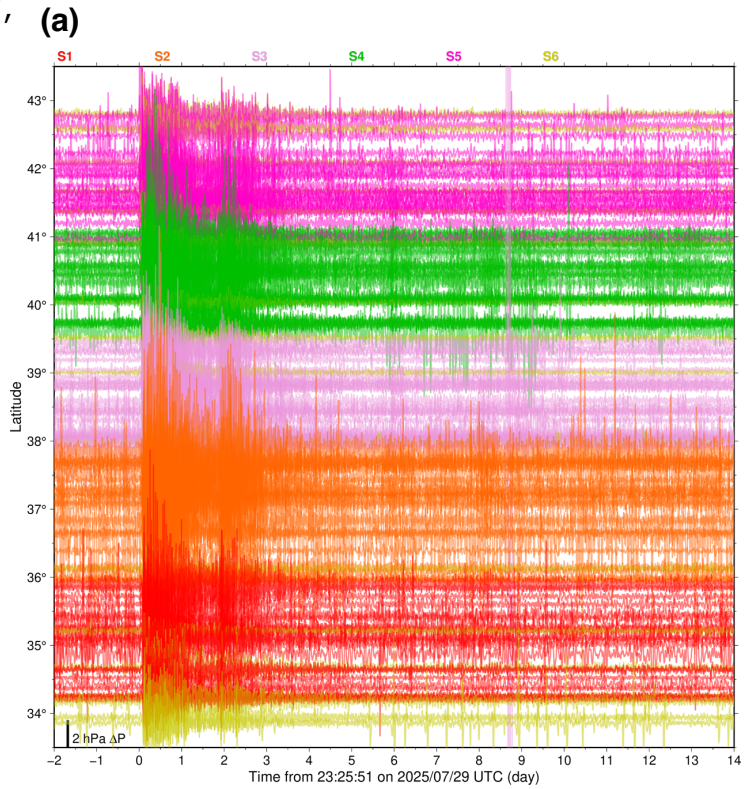
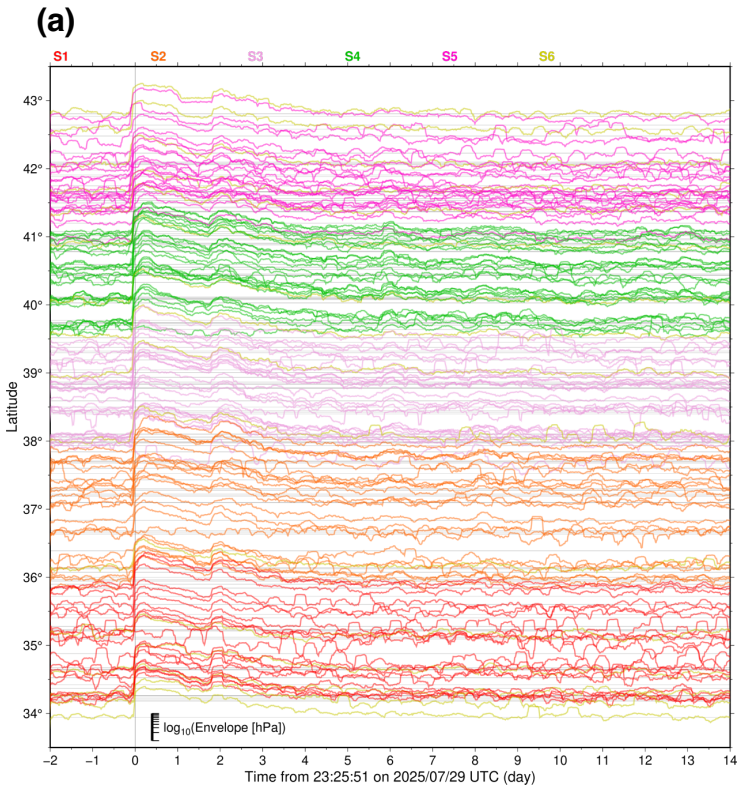


Fig. 4





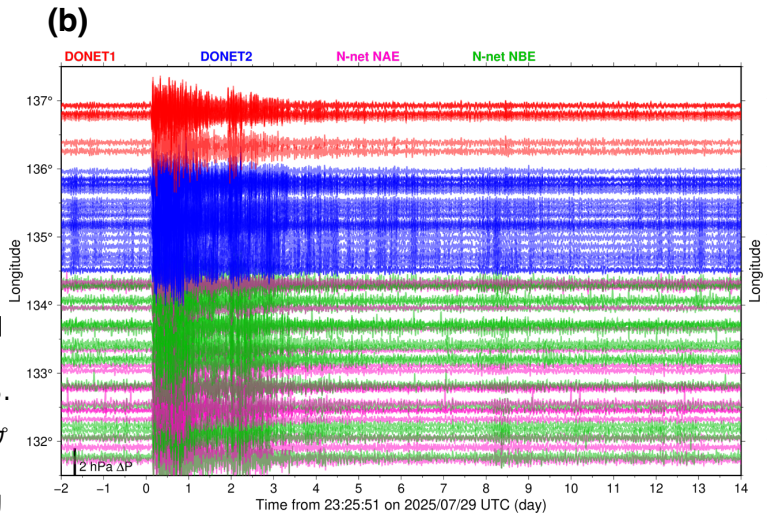


Fig. 2

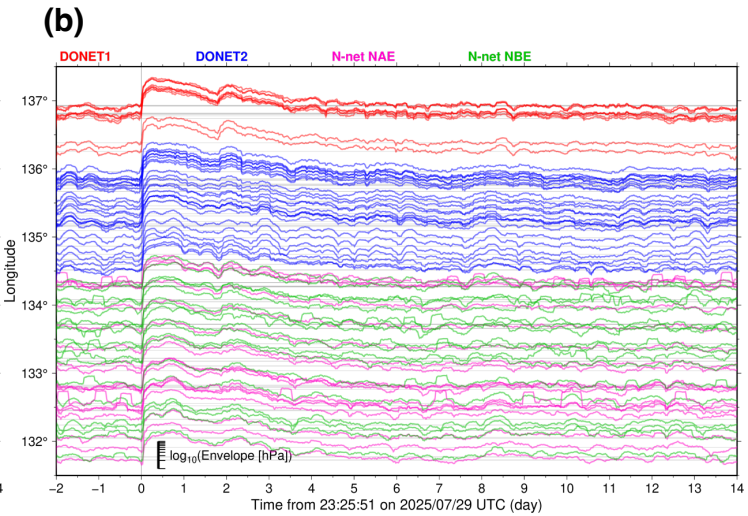


Fig. 3

Fig. 1. 観測点の配置図．USGSの震央 (白星) およびGlobal CMTのメカニズム解も示した．

Fig. 2. **(a)** S-netと **(b)** DONET・N-netにおける，地震発生の2日前から14日後までの水圧波形．600–7,200 sのバンドパスフィルタを適用した．横軸は地震発生からの経過時間．水圧波形は観測点の座標 (S-netは緯度，DONETとN-netは経度) に従って並べており，かつ，海底観測網のサブシステムごとに色分けしている．

Fig. 3. Fig. 2の波形から計算したエンベロープ波形．エンベロープは，6時間の時間窓で計算した2乗振幅の移動平均の平方根により計算した．常用対数で振幅を表わしており，地震前の平均値が観測点の緯度または経度と一致するように描画している．

Fig. 4. 水圧エンベロープの観測網ごとのスタック波形 (赤: S-net，青: DONET，緑: N-net)．